

## Moments et produits quadratiques d'une surface plane

Les moments quadratiques permettent de calculer les éléments du **tenseur d'inertie** d'un solide toujours **dans un repère donné**.

⇒ choix judicieux du repère pour nous faciliter les calculs.

Le **moment quadratique** est souvent appelé moment d'inertie géométrique mais **ne rend compte que de la géométrie d'une section et non de sa masse** (idem matrice d'inertie en mécanique du point mais avec un solide plan et une masse surfacique unitaire).

10

### Moment quadratique par rapport à un axe

Le **moment quadratique** de la surface  $S$  par rapport à un axe  $\Delta$  est donné par :

$$I_{\Delta} = \iint_S \delta^2 dS = \iint_S \|\overrightarrow{HM}\|^2 dS$$

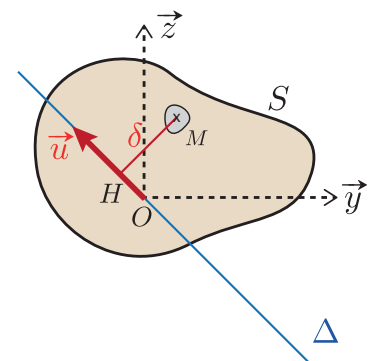
or  $\|\overrightarrow{HM}\|^2 = \|\vec{u} \wedge \overrightarrow{OM}\|^2 = (\vec{u} \wedge \overrightarrow{OM}) \cdot (\vec{u} \wedge \overrightarrow{OM}) = \vec{u} \cdot [\overrightarrow{OM} \wedge (\vec{u} \wedge \overrightarrow{OM})]$

donc  $I_{\Delta} = \vec{u} \cdot \mathcal{J}(O, S)(\vec{u})$

où l'application qui  $\forall \vec{u} \in \mathbb{R}^2$  fait correspondre

$$\mathcal{J}(O, S)(\vec{u}) = \iint_S [\overrightarrow{OM} \wedge (\vec{u} \wedge \overrightarrow{OM})] dS$$


est **linéaire et symétrique**.



11

## Démo :

**Linéarité :**  $\mathcal{J}(O, S)(\lambda_1 \vec{u} + \lambda_2 \vec{v}) = \lambda_1 \mathcal{J}(O, S)(\vec{u}) + \lambda_2 \mathcal{J}(O, S)(\vec{v})$   
d'après la linéarité de l'intégrale et du produit vectoriel

**Symétrie :**  $\vec{v} \cdot \mathcal{J}(O, S)(\vec{u}) = \vec{v} \cdot \iint_S [\vec{OM} \wedge (\vec{u} \wedge \vec{OM})] dS$   
 $= \iint_S [(\vec{v} \wedge \vec{OM}) \cdot (\vec{u} \wedge \vec{OM})] dS$   **permutation de . et  $\wedge$**   
 $= \vec{u} \cdot \mathcal{J}(O, S)(\vec{v})$

$$\forall \vec{u} \in \mathbb{R}^2 \longrightarrow I_{\Delta} = \vec{u} \cdot \mathcal{J}(O, S)(\vec{u}) = \iint_S [(\vec{u} \wedge \vec{OM})]^2 dS \geq 0$$

est donc une **forme quadratique définie positive**

On pose  $\mathcal{J}(O, S)(\vec{u}) = \mathbf{I}(O, S) \vec{u}$  avec  $\mathbf{I}(O, S)$  le **tenseur d'inertie en  $O$**

$$\Rightarrow I_{\Delta} = \vec{u} \cdot \mathbf{I}(O, S) \vec{u}$$

12

$$\mathcal{J}(O, S)(\vec{u}) = \iint_S [\vec{OM} \wedge (\vec{u} \wedge \vec{OM})] dS = \mathbf{I}(O, S) \vec{u}$$

$$\vec{OM} = y \vec{y} + z \vec{z} \quad \text{et} \quad \vec{u} = u_2 \vec{y} + u_3 \vec{z}$$

$$\Rightarrow \vec{OM} \wedge (\vec{u} \wedge \vec{OM}) = \begin{pmatrix} z^2 & -yz \\ -zy & y^2 \end{pmatrix}_{(\vec{y}, \vec{z})} \begin{pmatrix} u_2 \\ u_3 \end{pmatrix}_{(\vec{y}, \vec{z})}$$

Le **tenseur d'inertie en  $O$**  de la section  $(S)$  est :  $\mathbf{I}(O, S) = \begin{pmatrix} I_{Oy} & -I_{Oyz} \\ -I_{Oyz} & I_{Oz} \end{pmatrix}_{(\vec{y}, \vec{z})}$

$$I_{Oy} = \iint_S z^2 dS \quad \text{et} \quad I_{Oz} = \iint_S y^2 dS \quad ([m^4]; \quad > 0)$$

**moments quadratiques** de l'aire  $S$  par rapport aux axes  $(O \vec{y})$  et  $(O \vec{z})$

$$I_{Oyz} = \iint_S yz dS \quad ([m^4]; \quad > 0, < 0 \text{ ou } = 0)$$

**produit quadratique** de l'aire  $S$  par rapport au plan  $(O \vec{y} \vec{z})$

13

**Moment quadratique** caractéristique **géométrique importante** d'une section car il intervient dans les calculs de la résistance à la flexion ou la détermination des flèches.

⇒ donner à une aire  $S$  une géométrie telle que le moment quadratique par rapport à l'axe considéré soit **optimal**.

$\mathcal{I}(O, S)$  est un opérateur symétrique ⇒  $\mathbf{I}(O, S)$  est une matrice **symétrique** dans toute base orthonormée.

Ses valeurs propres sont réelles et ses vecteurs propres sont orthogonaux deux à deux donc la matrice est **diagonalisable** en base orthonormée.

Cette base est appelée **base principale d'inertie** du solide  $S$  :

$$\mathbf{I}(O, S) = \begin{pmatrix} I_{OY} & 0 \\ 0 & I_{OZ} \end{pmatrix}_{(\vec{Y}, \vec{Z})}$$

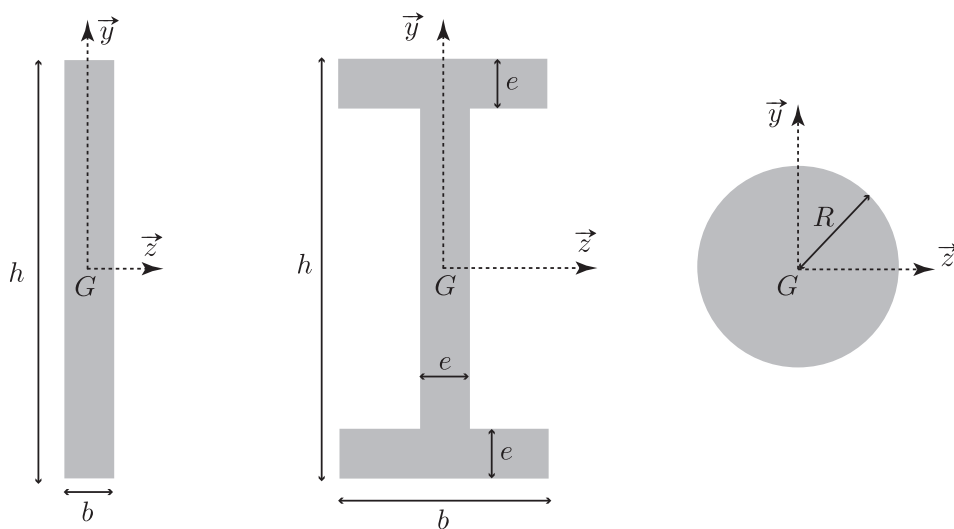
où les axes  $(O\vec{Y})$  et  $(O\vec{Z})$  sont les **axes principaux d'inertie**

$I_{OY}$  et  $I_{OZ}$  les **moments principaux d'inertie**

14

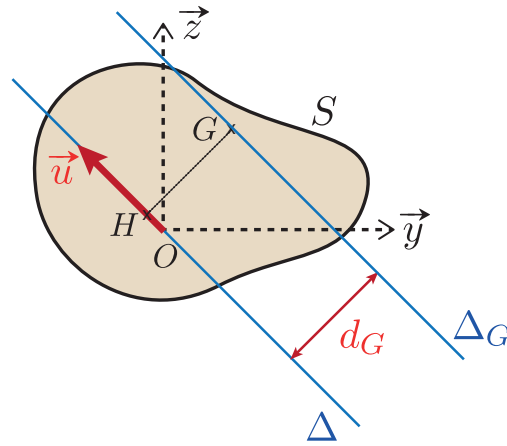
Dans la plupart des cas  $(\vec{y}, \vec{z})$  et  $(\vec{Y}, \vec{Z})$  coïncident.

Il suffit que l'un des axes soit axe de symétrie alors le produit d'inertie  $I_{Oyz} = 0$ .



15

## Théorème de Huygens

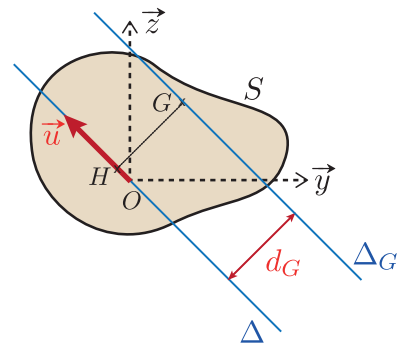


Le moment quadratique d'une surface  $S$  par rapport à un axe  $\Delta$  est égal à la somme du moment quadratique de  $S$  exprimé par rapport à l'axe  $\Delta_G$  parallèle à  $\Delta$  passant par  $G$  son centre de gravité et du produit de la surface par le carré de la distance entre  $\Delta_G$  et  $\Delta$  :

$$I_{\Delta} = I_{\Delta_G} + (d_G)^2 S$$

16

### Démo :



$$\begin{aligned}
 \mathcal{I}(O, S)(\vec{u}) &= \iint_S [\overrightarrow{OM} \wedge (\vec{u} \wedge \overrightarrow{OM})] dS \\
 &= \iint_S [(\overrightarrow{OG} + \overrightarrow{GM}) \wedge (\vec{u} \wedge \overrightarrow{OM})] dS \\
 &= \iint_S [\overrightarrow{OG} \wedge (\vec{u} \wedge \overrightarrow{OM})] dS + \iint_S [\overrightarrow{GM} \wedge (\vec{u} \wedge \overrightarrow{OM})] dS \\
 &= \overrightarrow{OG} \wedge \vec{u} \wedge \left( \iint_S \overrightarrow{OM} dS \right) + \left( \iint_S \overrightarrow{GM} dS \right) \wedge (\vec{u} \wedge \overrightarrow{OG}) + \iint_S [\overrightarrow{GM} \wedge (\vec{u} \wedge \overrightarrow{GM})] dS \\
 &= \overrightarrow{OG} \wedge \vec{u} \wedge S \overrightarrow{OG} + \vec{0} \wedge (\vec{u} \wedge \overrightarrow{OG}) dS + \iint_S [\overrightarrow{GM} \wedge (\vec{u} \wedge \overrightarrow{GM})] dS \\
 &= \mathcal{I}(G, S)(\vec{u}) + S (\overrightarrow{OG} \wedge \vec{u} \wedge \overrightarrow{OG})
 \end{aligned}$$

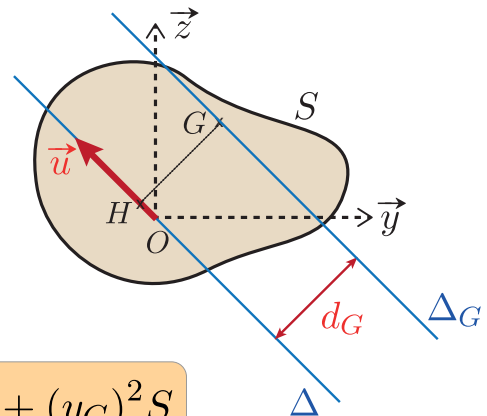
17

$$I_{\Delta} = \vec{u} \cdot \mathcal{J}(O, S)(\vec{u}) = \vec{u} \cdot \mathcal{J}(G, S)(\vec{u}) + S \vec{u} \cdot (\vec{OG} \wedge \vec{u} \wedge \vec{OG})$$

$$I_{\Delta_G} = \vec{u} \cdot \mathcal{J}(G, S)(\vec{u})$$

$$\vec{u} \cdot (\vec{OG} \wedge \vec{u} \wedge \vec{OG}) = (\vec{u} \wedge \vec{OG}) \cdot (\vec{u} \wedge \vec{OG}) = \|\vec{u} \wedge \vec{OG}\|^2 = \|\vec{HG}\|^2 = (d_G)^2$$

$$\Rightarrow I_{\Delta} = I_{\Delta_G} + (d_G)^2 S \quad \text{cqfd}$$



En particulier :

$$I_{Oy} = I_{Gy} + (z_G)^2 S$$

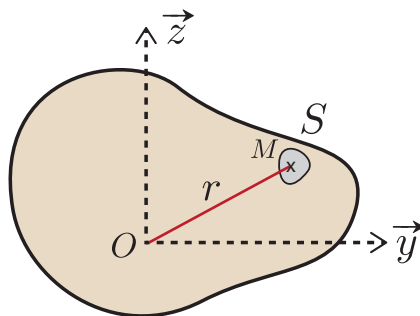
et

$$I_{Oz} = I_{Gz} + (y_G)^2 S$$

18

## Moment quadratique polaire ou moment de giration

Soit  $M(y, z)$  un point de  $S$  distant de  $r$  de l'origine et  $dS$  un élément de surface entourant  $M$ .



Le **moment quadratique polaire**  $I_O$  de la surface par rapport au point  $O$  de son plan est défini par :

$$I_O = \iint_S r^2 dS \quad ([m^4]; \quad > 0)$$

Remarque :

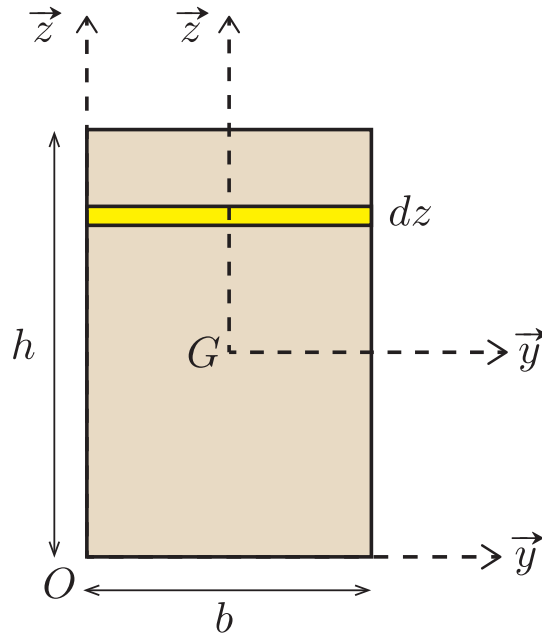
$$I_O = \iint_S r^2 dS = \iint_S (y^2 + z^2) dS = I_{Oz} + I_{Oy}$$

19

## Exple de calcul des caractéristiques géométriques :

Soit une surface  $S$  rectangulaire de largeur  $b$  et de hauteur  $h$ .

$\mathcal{R}(G; \vec{y}, \vec{z})$  est le repère central principal.

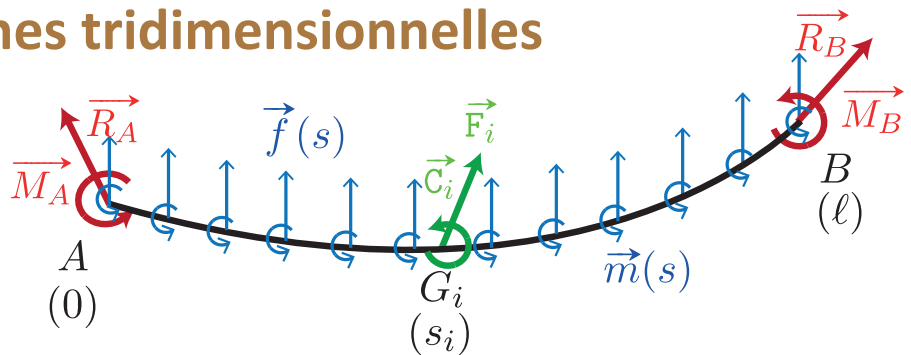


Calculer les caractéristiques géométriques de la section droite en  $O$  et  $G$

20

## Poutres curvilignes tridimensionnelles

### Efforts extérieurs :



Efforts aux extrémités :

$$\text{en } s = 0 \quad \{\mathcal{C}_A\} = \left\{ \begin{array}{c} \vec{R}_A \\ \vec{M}_A \end{array} \right\}_A \quad \text{en } s = \ell \quad \{\mathcal{C}_B\} = \left\{ \begin{array}{c} \vec{R}_B \\ \vec{M}_B \end{array} \right\}_B$$

Efforts concentrés aux points  $G_i$  :

$$\text{en } (s_i)_{1 \leq i \leq N} \quad 0 < s_1 < \dots < s_N < \ell \quad \{\mathcal{C}_{G_i}\} = \left\{ \begin{array}{c} \vec{F}_i \\ \vec{C}_i \end{array} \right\}_{G_i}$$

Efforts répartis :

densité linéique efforts normaux

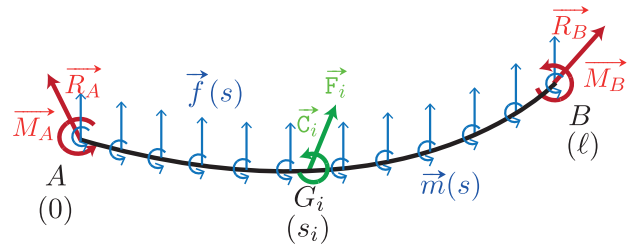
densité linéique de forces :  $\vec{f}(s) = p(s)\vec{t}(s) + \vec{q}(s)$  avec  $\vec{q}(s) = q_n(s)\vec{n}(s) + q_b(s)\vec{b}(s)$

densité linéique efforts tranchants

densité linéique de moments :  $\vec{m}(s)$

21

## Equations d'équilibre global :



Pour que la fibre moyenne  $\mathcal{C}$  soit en équilibre sous l'effet des efforts extérieurs décrits précédemment, **il faut mais il ne suffit pas** que le **torseur résultant des efforts extérieurs soit nul**.

Equation de la résultante :

$$\vec{R}_A + \int_0^\ell \vec{f}(s) ds + \sum_{i=1}^N \vec{F}_i + \vec{R}_B = \vec{0}$$

Equation du moment résultant en  $O$  :

$$\begin{aligned} \vec{M}_A + \vec{OA} \wedge \vec{R}_A + \int_0^\ell \vec{OG}(s) \wedge \vec{f}(s) ds \\ + \sum_{i=1}^N \vec{OG}_i \wedge \vec{F}_i + \vec{M}_B + \vec{OB} \wedge \vec{R}_B = \vec{0} \end{aligned}$$

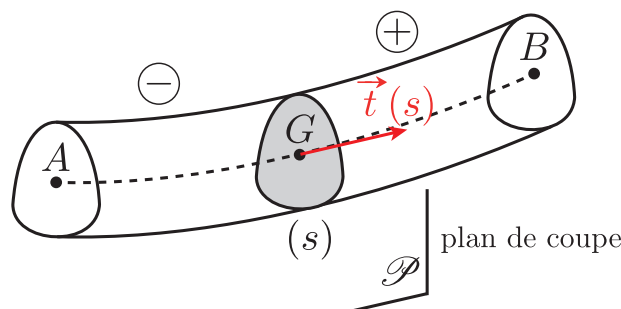
22

## Efforts intérieurs :

On considère une poutre, que l'on oriente du point  $A$  vers le point  $B$  imposant la direction du vecteur tangent  $\vec{t}(s)$ .

On **sépare artificiellement** au point  $G$  d'abscisse  $s$  la poutre en deux parties :

$\ominus$  pour la partie gauche et  $\oplus$  pour la partie droite.



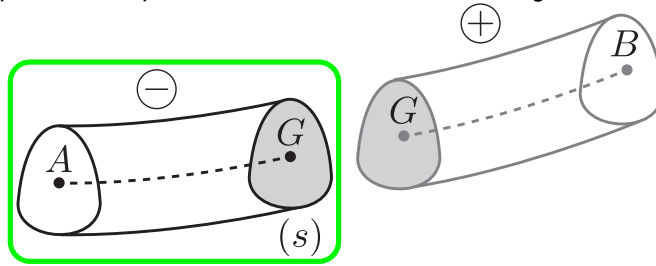
Pour un milieu déformable, **il ne suffit pas d'écrire les équations d'équilibre global pour être assuré qu'il est en équilibre**.

Il faut aussi écrire que chacune de ses parties sont en équilibre.

**⇒** Introduction de la notion d'**efforts intérieurs** qui représentent les **efforts de cohésion** (notion de contrainte) mis en oeuvre par le milieu pour maintenir son "intégrité".

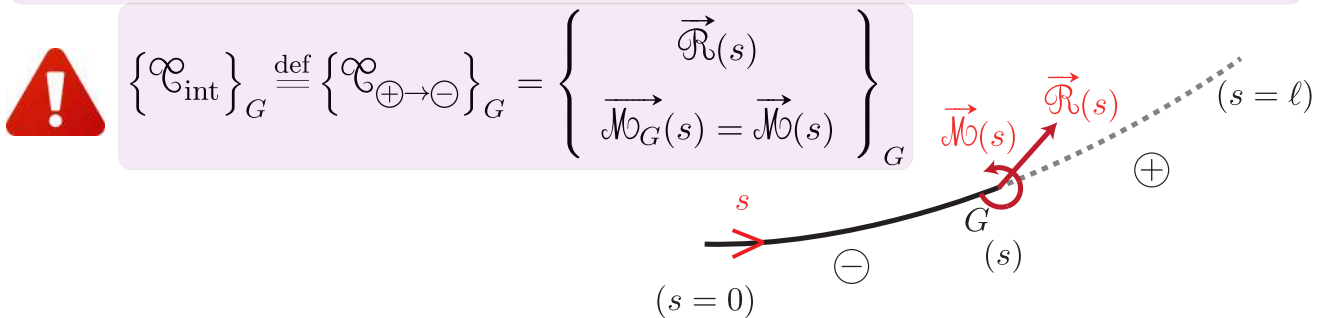
23

A partir de la coupure, on peut **isoler** un des 2 tronçons de la poutre (ici  $\ominus$ ) :



Ce tronçon est soumis à une partie des actions mécaniques extérieures  $\{\mathcal{C}_{\text{ext} \rightarrow \ominus}\}$  **et aussi** aux actions de la partie  $\oplus$  sur la partie  $\ominus$  à travers de la section  $[S]$ .

**Par définition (convention)** le torseur des actions mécaniques de  $\oplus$  sur  $\ominus$  est appelé **torseur des efforts intérieurs ou torseur de cohésion**.



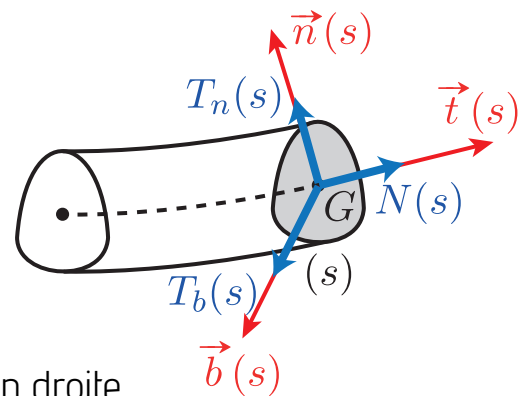
Cette liaison (les efforts et les moments qu'elle transmet) assure la cohésion des éléments et de la poutre.

24

$$\vec{\mathcal{R}}(s) = N(s) \vec{t}(s) + \vec{T}(s)$$

- $N(s)$ : l'**effort normal** (suivant  $\vec{t}(s)$ )  
[ $N > 0$  traction;  $N < 0$  compression]

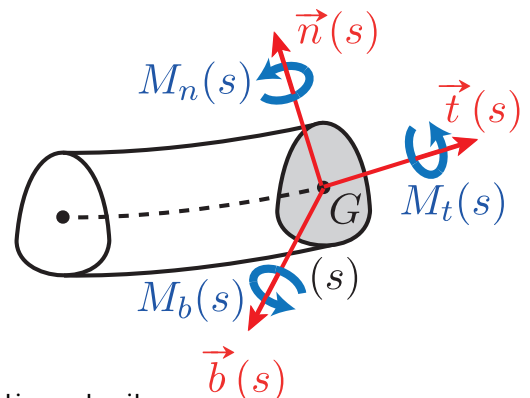
- $\vec{T}(s) = T_n(s) \vec{n}(s) + T_b(s) \vec{b}(s)$   
les **efforts tranchants** dans le plan de la section droite



$$\vec{\mathcal{M}}(s) = M_t(s) \vec{t}(s) + \vec{M}_f(s)$$

- $M_t(s)$ : le **moment de torsion** (autour de  $\vec{t}(s)$ )

- $\vec{M}_f(s) = M_n(s) \vec{n}(s) + M_b(s) \vec{b}(s)$   
les **moments fléchissants** dans le plan de la section droite

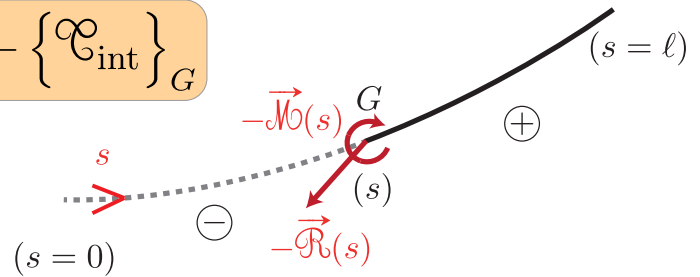


25



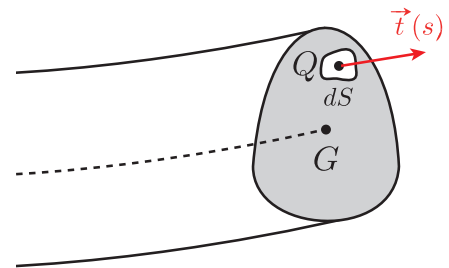
Si le point de coupure n'est pas soumis à des efforts extérieurs ponctuels, d'après le **principe d'action-réaction** :

$$\left\{ \mathcal{C}_{\ominus \rightarrow \oplus} \right\}_G = - \left\{ \mathcal{C}_{\oplus \rightarrow \ominus} \right\}_G = - \left\{ \mathcal{C}_{\text{int}} \right\}_G$$



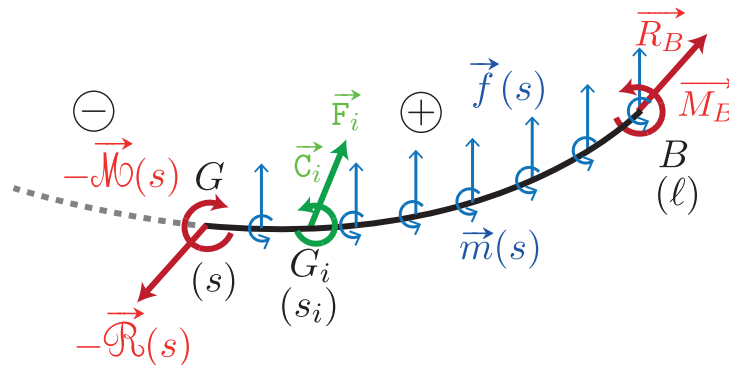
Lien entre les éléments du torseur de cohésion et les contraintes (voir MMC) :

$$\begin{aligned} \vec{R}(s) &= \iint_S \text{vecteur contrainte} (\bar{\sigma}(Q) \cdot \vec{t}) dS \\ \vec{M}(s) &= \iint_S \vec{GQ} \wedge (\bar{\sigma}(Q) \cdot \vec{t}) dS \end{aligned}$$



26

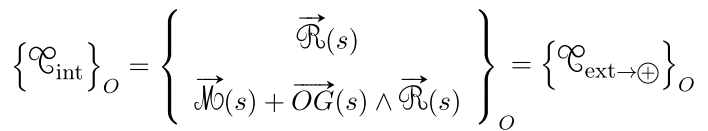
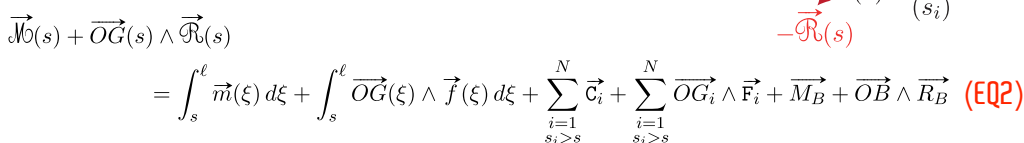
**Equations d'équilibre du tronçon  $]s, \ell[$  ( $0 < s < \ell; s \neq s_i$ )**



$$\left\{ \mathcal{C}_{\text{ext} \rightarrow \oplus} \right\}_G + \left\{ \mathcal{C}_{\ominus \rightarrow \oplus} \right\}_G = \left\{ 0 \right\}_G \Rightarrow \left\{ \mathcal{C}_{\text{int}} \right\}_G = \left\{ \begin{array}{c} \vec{R}(s) \\ \vec{M}(s) \end{array} \right\}_G = \left\{ \mathcal{C}_{\text{ext} \rightarrow \oplus} \right\}_G$$

$$\text{soit} \quad \left\{ \mathcal{C}_{\text{int}} \right\}_O = \left\{ \begin{array}{c} \vec{R}(s) \\ \vec{M}(s) + \vec{OG}(s) \wedge \vec{R}(s) \end{array} \right\}_O$$

27

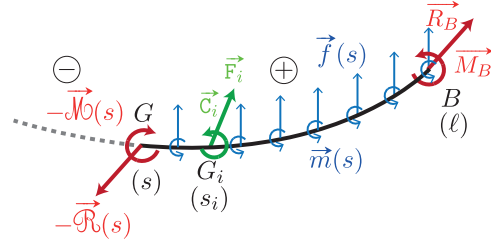

$$\vec{\mathcal{R}}(s) = \int_s^\ell \vec{f}(\xi) d\xi + \sum_{\substack{i=1 \\ s_i > s}}^N \vec{\mathbf{F}}_i + \vec{R}_B \quad (\text{EQ1})$$
$$\begin{aligned} & \vec{\mathcal{M}}(s) + \vec{OG}(s) \wedge \vec{\mathcal{R}}(s) \\ &= \int_s^\ell \vec{m}(\xi) d\xi + \int_s^\ell \vec{OG}(\xi) \wedge \vec{f}(\xi) d\xi + \sum_{\substack{i=1 \\ s_i > s}}^N \vec{\mathcal{C}}_i + \sum_{\substack{i=1 \\ s_i > s}}^N \vec{OG}_i \wedge \vec{\mathbf{F}}_i + \vec{M}_B + \vec{OB} \wedge \vec{R}_B \end{aligned} \quad \textcolor{red}{(\text{EQ2})}$$
$$\vec{\mathcal{R}}(s) = \int_s^\ell \vec{f}(\xi) d\xi + \sum_{\substack{i=1 \\ s_i > s}}^N \vec{\mathbf{F}}_i + \vec{R}_B \quad (\text{EQ1})$$

$$\lim_{s \rightarrow \ell^-} \overrightarrow{\mathcal{R}}(s) = \lim_{s \rightarrow \ell^-} \left[ \int_s^\ell \overrightarrow{f}(\xi) d\xi + \sum_{\substack{i=1 \\ s_i > s}}^N \overrightarrow{F}_i + \overrightarrow{R}_B \right] = \overrightarrow{R}_B \quad (\star)$$

$$\begin{aligned} & \lim_{s \rightarrow \ell^-} \left[ \overrightarrow{\mathcal{M}}(s) + \overrightarrow{OG}(s) \wedge \overrightarrow{\mathcal{R}}(s) \right] \\ &= \lim_{s \rightarrow \ell^-} \left[ \int_s^\ell \vec{m}(\xi) d\xi + \int_s^\ell \overrightarrow{OG}(\xi) \wedge \vec{f}(\xi) d\xi + \sum_{\substack{i=1 \\ s_i > s}}^N \vec{c}_i + \sum_{\substack{i=1 \\ s_i > s}}^N \overrightarrow{OG}_i \wedge \vec{F}_i + \overrightarrow{M_B} + \overrightarrow{OB} \wedge \overrightarrow{R_B} \right] \end{aligned}$$

au point  $B$  (extrémité droite  $s = \ell$  )

$$\begin{aligned}\vec{\mathcal{R}}(\ell) &= \lim_{s \rightarrow \ell^-} \vec{\mathcal{R}}(s) = \vec{R}_B \\ \vec{\mathcal{M}}(\ell) &= \lim_{s \rightarrow \ell^-} \vec{\mathcal{M}}(s) = \vec{M}_B\end{aligned}$$

$$\vec{\mathcal{R}}(s) = \int_s^\ell \vec{f}(\xi) d\xi + \sum_{\substack{i=1 \\ s_i > s}}^N \vec{F}_i + \vec{R}_B \quad (\text{EQ1})$$



$$\begin{aligned} \vec{\mathcal{M}}(s) + \vec{OG}(s) \wedge \vec{\mathcal{R}}(s) \\ = \int_s^\ell \vec{m}(\xi) d\xi + \int_s^\ell \vec{OG}(\xi) \wedge \vec{f}(\xi) d\xi + \sum_{\substack{i=1 \\ s_i > s}}^N \vec{c}_i + \sum_{\substack{i=1 \\ s_i > s}}^N \vec{OG}_i \wedge \vec{F}_i + \vec{M}_B + \vec{OB} \wedge \vec{R}_B \quad (\text{EQ2}) \end{aligned}$$

Conditions aux extrémités :

$$\lim_{s \rightarrow 0^+} \vec{\mathcal{R}}(s) = \lim_{s \rightarrow 0^+} \left[ \int_s^\ell \vec{f}(\xi) d\xi + \sum_{\substack{i=1 \\ s_i > s}}^N \vec{F}_i + \vec{R}_B \right] = \int_0^\ell \vec{f}(\xi) d\xi + \sum_{i=1}^N \vec{F}_i + \vec{R}_B = -\vec{R}_A \quad (**)$$

$$\begin{aligned} \lim_{s \rightarrow 0^+} [\vec{\mathcal{M}}(s) + \vec{OG}(s) \wedge \vec{\mathcal{R}}(s)] \\ = \int_0^\ell \vec{m}(\xi) d\xi + \int_0^\ell \vec{OG}(\xi) \wedge \vec{f}(\xi) d\xi + \sum_{i=1}^N \vec{c}_i + \sum_{i=1}^N \vec{OG}_i \wedge \vec{F}_i + \vec{M}_B + \vec{OB} \wedge \vec{R}_B \\ \Rightarrow \vec{\mathcal{M}}(0) + \vec{OA} \wedge \vec{\mathcal{R}}(0) \stackrel{(**)}{=} \vec{\mathcal{M}}(0) + \vec{OA} \wedge (-\vec{R}_A) = -\vec{M}_A - \vec{OA} \wedge \vec{R}_A \end{aligned}$$

au point A (extrémité gauche  $s = 0$ )

$$\begin{aligned} \vec{\mathcal{R}}(0) &= \lim_{s \rightarrow 0^+} \vec{\mathcal{R}}(s) = -\vec{R}_A \\ \vec{\mathcal{M}}(0) &= \lim_{s \rightarrow 0^+} \vec{\mathcal{M}}(s) = -\vec{M}_A \end{aligned}$$



30

$$\vec{\mathcal{R}}(s) = \int_s^\ell \vec{f}(\xi) d\xi + \sum_{\substack{i=1 \\ s_i > s}}^N \vec{F}_i + \vec{R}_B \quad (\text{EQ1})$$

$$\begin{aligned} \vec{\mathcal{M}}(s) + \vec{OG}(s) \wedge \vec{\mathcal{R}}(s) \\ = \int_s^\ell \vec{m}(\xi) d\xi + \int_s^\ell \vec{OG}(\xi) \wedge \vec{f}(\xi) d\xi + \sum_{\substack{i=1 \\ s_i > s}}^N \vec{c}_i + \sum_{\substack{i=1 \\ s_i > s}}^N \vec{OG}_i \wedge \vec{F}_i + \vec{M}_B + \vec{OB} \wedge \vec{R}_B \quad (\text{EQ2}) \end{aligned}$$

**Equations d'équilibre locales:** pour  $s \neq s_i$

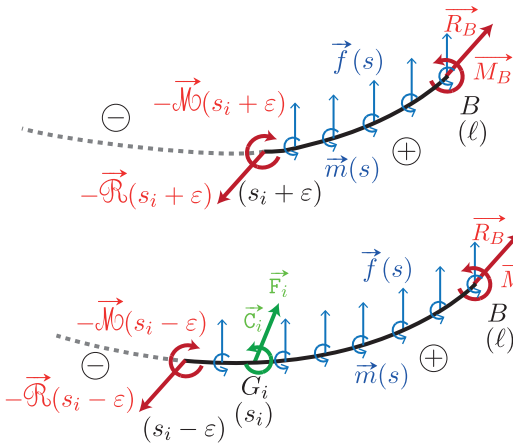
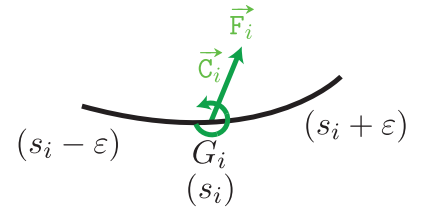
$$\frac{d}{ds} (\text{EQ1}) = \vec{0} \Rightarrow \boxed{\frac{d\vec{\mathcal{R}}(s)}{ds} + \vec{f}(s) = \vec{0}} \quad \text{équilibre local des forces}$$

$$\begin{aligned} \frac{d}{ds} (\text{EQ2}) = \vec{0} \Rightarrow \frac{d\vec{\mathcal{M}}(s)}{ds} + \underbrace{\frac{d\vec{OG}(s)}{ds}}_{\vec{t}(s)} \wedge \vec{\mathcal{R}}(s) + \vec{OG}(s) \wedge \underbrace{\frac{d\vec{\mathcal{R}}(s)}{ds}}_{-\vec{f}(s)} \\ = -\vec{m}(s) - \vec{OG}(s) \wedge \vec{f}(s) \end{aligned}$$

$$\boxed{\frac{d\vec{\mathcal{M}}(s)}{ds} + \vec{t}(s) \wedge \vec{\mathcal{R}}(s) + \vec{m}(s) = \vec{0}} \quad \text{équilibre local des moments}$$

31

**Conditions de saut:** pour  $s = s_i$



$$\vec{\mathcal{R}}(s_i + \epsilon) = \int_{s_i + \epsilon}^{\ell} \vec{f}(\xi) d\xi + \vec{R}_B$$

$$\vec{\mathcal{R}}(s_i - \epsilon) = \int_{s_i - \epsilon}^{\ell} \vec{f}(\xi) d\xi + \vec{F}_i + \vec{R}_B$$

$$\Rightarrow \vec{\mathcal{R}}(s_i + \epsilon) - \vec{\mathcal{R}}(s_i - \epsilon) = \int_{s_i + \epsilon}^{s_i - \epsilon} \vec{f}(\xi) d\xi - \vec{F}_i$$

$$\lim_{\epsilon \rightarrow 0} [\vec{\mathcal{R}}(s_i + \epsilon) - \vec{\mathcal{R}}(s_i - \epsilon)] = \vec{\mathcal{R}}(s_i^+) - \vec{\mathcal{R}}(s_i^-) = [[\vec{\mathcal{R}}]](s_i)$$

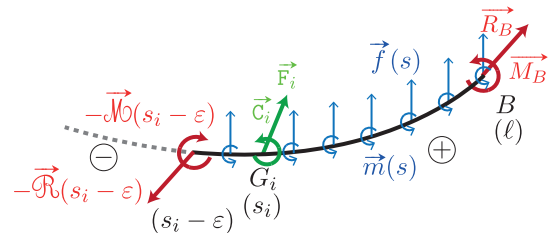
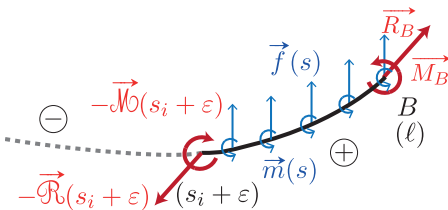
or  $\lim_{\epsilon \rightarrow 0} \int_{s_i + \epsilon}^{s_i - \epsilon} \vec{f}(\xi) d\xi = \vec{0}$  donc  $\boxed{[[\vec{\mathcal{R}}]](s_i) + \vec{F}_i = \vec{0}}$

condition de saut pour forces

32

$$\vec{\mathcal{M}}(s_i + \epsilon) + \vec{OG}(s_i + \epsilon) \wedge \vec{\mathcal{R}}(s_i + \epsilon)$$

$$= \int_{s_i + \epsilon}^{\ell} \vec{m}(\xi) d\xi + \int_{s_i + \epsilon}^{\ell} \vec{OG}(\xi) \wedge \vec{f}(\xi) d\xi + \vec{M}_B + \vec{OB} \wedge \vec{R}_B$$



$$\vec{\mathcal{M}}(s_i - \epsilon) + \vec{OG}(s_i - \epsilon) \wedge \vec{\mathcal{R}}(s_i - \epsilon)$$

$$= \int_{s_i - \epsilon}^{\ell} \vec{m}(\xi) d\xi + \int_{s_i - \epsilon}^{\ell} \vec{OG}(\xi) \wedge \vec{f}(\xi) d\xi + \vec{C}_i + \vec{OG}_i \wedge \vec{F}_i + \vec{M}_B + \vec{OB} \wedge \vec{R}_B$$

$$\Rightarrow \vec{\mathcal{M}}(s_i + \epsilon) - \vec{\mathcal{M}}(s_i - \epsilon) + \vec{OG}(s_i + \epsilon) \wedge \vec{\mathcal{R}}(s_i + \epsilon) - \vec{OG}(s_i - \epsilon) \wedge \vec{\mathcal{R}}(s_i - \epsilon)$$

$$= \int_{s_i + \epsilon}^{s_i - \epsilon} \vec{m}(\xi) d\xi + \int_{s_i + \epsilon}^{s_i - \epsilon} \vec{OG}(\xi) \wedge \vec{f}(\xi) d\xi - \vec{C}_i - \vec{OG}_i \wedge \vec{F}_i$$

$$\lim_{\epsilon \rightarrow 0} [\vec{\mathcal{M}}(s_i + \epsilon) - \vec{\mathcal{M}}(s_i - \epsilon)] = \vec{\mathcal{M}}(s_i^+) - \vec{\mathcal{M}}(s_i^-) = [[\vec{\mathcal{M}}]](s_i)$$

$$\lim_{\epsilon \rightarrow 0} [\vec{OG}(s_i + \epsilon) \wedge \vec{\mathcal{R}}(s_i + \epsilon) - \vec{OG}(s_i - \epsilon) \wedge \vec{\mathcal{R}}(s_i - \epsilon)]$$

$$= \vec{OG}(s_i) \wedge [\vec{\mathcal{R}}(s_i^+) - \vec{\mathcal{R}}(s_i^-)] = \vec{OG}_i \wedge [[\vec{\mathcal{R}}]](s_i) = -\vec{OG}_i \wedge \vec{F}_i$$

donc  $\boxed{[[\vec{\mathcal{M}}]](s_i) + \vec{C}_i = \vec{0}}$  condition de saut pour moments

33

Equations d'équilibre locales: pour  $s \neq s_i$

$$\frac{d\vec{\mathcal{R}}(s)}{ds} + \vec{f}(s) = \vec{0}$$

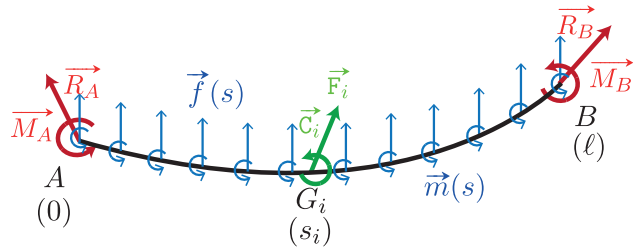
$$\frac{d\vec{\mathcal{M}}(s)}{ds} + \vec{t}(s) \wedge \vec{\mathcal{R}}(s) + \vec{m}(s) = \vec{0}$$



Conditions de saut: pour  $s = s_i$

$$\llbracket \vec{\mathcal{R}} \rrbracket (s_i) + \vec{F}_i = \vec{0}$$

$$\llbracket \vec{\mathcal{M}} \rrbracket (s_i) + \vec{C}_i = \vec{0}$$



Conditions aux extrémités:

$$\begin{cases} \vec{\mathcal{R}}(0) = -\vec{R}_A \\ \vec{\mathcal{M}}(0) = -\vec{M}_A \end{cases} \quad \text{et} \quad \begin{cases} \vec{\mathcal{R}}(l) = \vec{R}_B \\ \vec{\mathcal{M}}(l) = \vec{M}_B \end{cases}$$